

铝酸钠溶液阴离子的量子化学研究^①

刘洪霖 黄世萍 陈念贻

(中科院上海冶金研究所)

摘要

配合铝酸钠溶液的光谱研究,作了有关铝酸离子的量子化学计算;采用从头计算法估算若干铝酸离子的总能量和相对稳定性。表明在水溶液中 $\text{Al}(\text{OH})_4^-$ 和 $[(\text{HO})_3\text{Al}-\text{O}-\text{Al}(\text{OH})_3]^{2-}$ 较 AlO_2^- 、 $[(\text{HO})_3\text{Al}-\text{O}-\text{Al}(\text{OH})_3]^{2-}$ 稳定。采用 DVX α 法计算各铝酸离子的 HOMO 和 LUMO 过渡态,以解释铝酸钠溶液的紫外光谱、量子化学计算结果和铝酸钠溶液光谱研究结果是一致或不矛盾的。

关键词: 铝酸钠溶液 阴离子 量子化学计算

铝酸钠溶液是氧化铝生产的中间产物,其结果为铝冶金工作者所关心^[1],近年来,我们在运用 Raman 光谱、紫外光谱、红外光谱和核磁共振谱研究铝酸钠溶液的同时,也对铝酸钠溶液中可能存在的各种铝酸离子作了量子化学计算,并用光谱测量结果验证计算结果。

1 计算方法

各种铝酸离子的电子结构和能量计算均用量子化学从头计算法 HONDO 程序。对于 AlO_2^- 、 $\text{Al}(\text{OH})_4^-$ 等较小的阴离子和分子则先用 STO 3G 基组优化体系的平衡几何构型,然后再以价层分裂基 3-21G 基组计算总能量,以求得更精确的结果。对于较大的离子(如 $[(\text{HO})_3\text{Al}-\text{O}-\text{Al}(\text{OH})_3]^{2-}$) 体系,则先用半经验的 MNDO 方法优化平衡构型,再用从头计算法计算总能量。

鉴于量子化学 X α 方法的过渡态模型考虑了体系的驰豫效应,计算激发能较精确,故本工作有关紫外光谱的研究采用 DVX α 方法的 Ellis 程序计算。

上述各种计算均在 VAX 8350 中型机上实现。

2 计算结果和讨论

2.1 AlO_2^- 和 $\text{Al}(\text{OH})_4^-$ 离子的相对稳定性

固体偏铝酸钠(NaAlO_2)和铝酸钠溶液都曾被认为含 AlO_2^- 离子,但 X-射线衍射证明:固体 NaAlO_2 并不含 AlO_2^- ,而是含有 AlO_4^- 四面体共隅的三维网络,铝酸钠溶液中是否含 AlO_2^- 亦无有力证明。而近年来多数文献倾向于铝酸钠溶液含 $\text{Al}(\text{OH})_4^-$ (四面体或近四面体构型)^[2,3]。

本研究采用量子化学的从头计算法计算 $\text{AlO}_2^- + 2\text{H}_2\text{O}$ 和 $\text{Al}(\text{OH})_4^-$ (四面体构型)的能量差值。首先对 H_2O 、 AlO_2^- 进行能量梯度法全优化,结果前者为 C_{2v} 对称, $R(\text{O}-\text{H}) = 0.99 \text{ \AA}$, $\angle \text{HOH} = 100^\circ$;后者为 $D_{\infty h}$ 对称, $R(\text{Al}-\text{O}) = 1.62 \text{ \AA}$ 。对于 $\text{Al}(\text{OH})_4^-$,优化时限定 T_d 对称性,算出 $R(\text{Al}-\text{O}) = 1.64 \text{ \AA}$, $R(\text{O}-\text{H}) = 0.96 \text{ \AA}$ 。根据优化构型算出下列反应



^①本课题属国家自然科学基金资助项目;本文于 1991 年 12 月 22 日收到

系强放热反应, 故在水溶液中 $\text{Al}(\text{OH})_4^-$ 应远较 AlO_2^- 稳定。另外, 量子化学计算还表明: 两个 H_2O 分子接近 AlO_2^- 离子后, H_2O 分子中的一个 O-H 键的电子云将转移到 Al-O 键附近形成 Al-O-H 键, 亦即形成 $\text{Al}(\text{OH})_4^-$ 离子。

我们曾测量铝酸钠溶液的 ^{27}Al 核磁共振谱, 结果表明铝酸钠稀溶液 ^{27}Al 的化学位移为 79.8 ppm, 铝酸钠浓溶液 ^{27}Al 的化学位移变化于 70~79 ppm 之间。这表明铝酸钠溶液中的 ^{27}Al 是四配位的^[4]。另外, 实验证明, 铝酸钠稀溶液的 Raman 光谱主峰和红外光谱主峰位置都会因用氘代氢而改变, 可见铝酸离子是含有氢原子的阴离子^[2], 这说明我们的量子化学计算结果和实验事实是一致或不矛盾的。

2.2 关于 $\text{Al}(\text{OH})_4^-$ 离子的构型和电子结构

鉴于若干文献讨论过 $\text{Al}(\text{OH})_4^-$ 的平面构型 (C_4 对称) 存在的可能性^[5]。我们对比了 $\text{Al}(\text{OH})_4^-$ 离子四面体构型和平面构型的相对稳定性, 对平面型的 $\text{Al}(\text{OH})_4^-$ 作键长优化, 得到 $R(\text{Al}-\text{O})=1.67 \text{ \AA}$, $R(\text{O}-\text{H})=0.97 \text{ \AA}$, 四面体型 $\text{Al}(\text{OH})_4^-$ 比正方形型 $\text{Al}(\text{OH})_4^-$ 能量低 306 kJ/mol。故四面体型 $\text{Al}(\text{OH})_4^-$ 比正方形型 $\text{Al}(\text{OH})_4^-$ 更为稳定, 从能量细分可知: 四面体型有利于原子核对电子吸引能的增加, 所以四面体构型更为稳定。

四面体型 $\text{Al}(\text{OH})_4^-$ 离子中各原子的净电荷值为: Al 原子 +1.35 e, O 原子 -0.658 e, H 原子 +0.071 e, Al-O 键重叠集居数为 0.44。由此可见: Al-O 键是具有部分离子性的共价键。

2.3 关于 $[(\text{HO})_3\text{Al}-\text{O}-\text{Al}(\text{OH})_3]^{2-}$ 和 $[(\text{HO})_3\text{Al} < \begin{smallmatrix} \text{H} \\ \text{O} \\ \text{H} \end{smallmatrix} > \text{Al}(\text{OH})_3]^{2-}$ 离子的相对稳定性

文献 [1][2] 中 $[(\text{HO})_3\text{Al}-\text{O}-\text{Al}(\text{OH})_3]^{2-}$ 和 $[(\text{HO})_3\text{Al} < \begin{smallmatrix} \text{H} \\ \text{O} \\ \text{H} \end{smallmatrix} > \text{Al}(\text{OH})_3]^{2-}$ 的存在都有过讨论。因从铝酸钾浓溶液中析出的 $\text{K}_2\text{O} \cdot \text{Al}_2\text{O}_3 \cdot 3\text{H}_2\text{O}$ 晶体经 X-射线衍射分析证明含有 $[(\text{HO})_3\text{Al}-\text{O}-\text{Al}(\text{OH})_3]^{2-}$ 离子, 通过晶体

和铝酸钠溶液的 Raman 光谱和红外光谱的对比, 已证明铝酸钠浓溶液含有 $[(\text{HO})_3\text{Al}-\text{O}-\text{Al}(\text{OH})_3]^{2-}$ 离子^[2], $[(\text{HO})_3\text{Al} < \begin{smallmatrix} \text{H} \\ \text{O} \\ \text{H} \end{smallmatrix} > \text{Al}(\text{OH})_3]^{2-}$ 离子在溶液中的存在, 则尚无有力证明。

我们对上述两种寡聚离子作量子化学计算。先用 MNDO 方法对它们的构型作优化, 优化结果: $[(\text{HO})_3\text{Al}-\text{O}-\text{Al}(\text{OH})_3]^{2-}$ 离子的两个端基的 $R(\text{O}-\text{Al})=1.75 \text{ \AA}$, $R(\text{O}-\text{H})=0.97 \text{ \AA}$, 氧桥的 $\angle \text{AlOAl}=134 (\text{ }^\circ)$, $R(\text{Al}-\text{O})=1.67 \text{ \AA}$, 离子对称性属 C_s 点群。 $[(\text{HO})_3\text{Al} < \begin{smallmatrix} \text{H} \\ \text{O} \\ \text{H} \end{smallmatrix} > \text{Al}(\text{OH})_3]^{2-}$ 离子两个端基 $R(\text{O}-\text{Al})=1.72 \text{ \AA}$, $R(\text{O}-\text{H})=0.97 \text{ \AA}$, 中部 $\angle \text{AlOAl}=112 (\text{ }^\circ)$, $R(\text{O}-\text{Al})=2.22 \text{ \AA}$, $R(\text{O}-\text{H})=0.95 \text{ \AA}$, $\angle \text{HOO}=95 (\text{ }^\circ)$ (见图 1)。

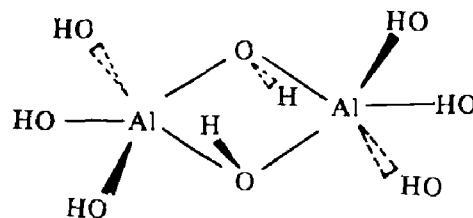
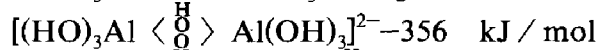
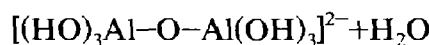


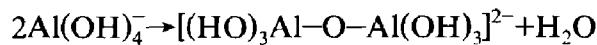
图 1 $[(\text{HO})_3\text{Al} < \begin{smallmatrix} \text{H} \\ \text{O} \\ \text{H} \end{smallmatrix} > \text{Al}(\text{OH})_3]^{2-}$ 的构型

本文作者采用量子化学从头计算法算出的 $[(\text{HO})_3\text{Al}-\text{O}-\text{Al}(\text{OH})_3]^{2-} + \text{H}_2\text{O}$ 以及 $[(\text{HO})_3\text{Al} < \begin{smallmatrix} \text{H} \\ \text{O} \\ \text{H} \end{smallmatrix} > \text{Al}(\text{OH})_3]^{2-}$ 的能量差值, 证明下列反应是强吸热反应:



由此可见 $[(\text{HO})_3\text{Al} < \begin{smallmatrix} \text{H} \\ \text{O} \\ \text{H} \end{smallmatrix} > \text{Al}(\text{OH})_3]^{2-}$ 远不如 $[(\text{HO})_3\text{Al}-\text{O}-\text{Al}(\text{OH})_3]^{2-}$ 稳定, 这或许就是溶液和晶体中都有 $[(\text{HO})_3\text{Al}-\text{O}-\text{Al}(\text{OH})_3]^{2-}$ 离子的存在, 而 $[(\text{HO})_3\text{Al} < \begin{smallmatrix} \text{H} \\ \text{O} \\ \text{H} \end{smallmatrix} > \text{Al}(\text{OH})_3]^{2-}$ 的存在则未被证实的原因。

还可以设想: 下列反应过程中



当两个 $\text{Al}(\text{OH})_4^-$ 离子互相接近并相互作用时, 过渡能可能与 $[(\text{HO})_3\text{Al} < \begin{smallmatrix} \text{H} \\ \text{O} \\ \text{H} \end{smallmatrix} > \text{Al}(\text{OH})_3]^{2-}$ 相近, 故反应活化能较高^①. 反应较慢, 这和实验

(下转 P36)

^① 反应活化能较高的另一合理解释是: Al-O 键有共价性, 故其形成或断裂均需活化能

5 结论

(1) 氯化镍溶液的表面张力和粘度，均随浓度的升高而增加，随温度的增加而降低。镍浓度在 120 g/L 以下时，电导率随浓度的升高而增大；在 120~180 g/L 时，电导率的变化不大；在 180 g/L 以上时，电导率反而随浓度的增加而下降。此外，温度增加，电导率也增加；

(2) 为得到表面状况良好和内应力小的阴极镍，应采用以下工艺条件：120 g/L Ni^{2+} ， $\text{pH}=1$ ， $T=65^\circ\text{C}$ ，阴极电流密度 150~250 A/m²，电流效率约 96.5 %；

(3) 氯化镍电解液中存在少量钴、铁，对电积镍的电流效率和能耗没有明显影响，但存在少量铅，能使电积镍的能耗增加；

(4) 从电积镍的形貌、结晶取向、电流效率、能耗等几方面综合考虑，当 TBP 或 N-235 单独存在时，TBP 应小于 10 mg/L，N-235 应小于 10 mg/L。当 TBP 和 N-235 共存时，TBP 应小于 2 mg/L，N-235 应小于 3 mg/L。

参考文献

- Osseo-Asare K, Miller J D. Hydrometallurgy (Research, Development and Plant Practice). New York, 1983.664.
- Proceedings of SMM'S Nickel and Cobalt Refining Process, Dallas, Texas, Feb. 1982. 14~18.
- Hougen L R, Parkinson R, Saetire J and Van Weert G. CIM Bull. 1977, 70, 136~143.
- Anonymous, Eng. and Min. J., 1980, (February): 35~36.
- 龚乾, 廖洪. 化工冶金, 1990, 11(1): 40~45.
- 龚乾, 杨涛, 胡洁雪. 有色金属, 1991, 43(4): 76~80.

(上接 P31)

事实是符合的^[6]。

2.4 Al(OH)_4^- 、 $[(\text{HO})_3\text{Al}-\text{O}-\text{Al}(\text{OH})_3]^{2-}$ 和 Al(OH)_6^{3-} 紫外光谱的估算

计算紫外光谱所取的离子构型, Al(OH)_4^- 取 T_d 构型, $[(\text{HO})_3\text{Al}-\text{O}-\text{Al}(\text{OH})_3]^{2-}$ 取 C_s 构型, Al(OH)_6^{3-} 取 O_h 构型。应用 DVX α 方法计算各铝酸离子的最高占有轨道(HOMO)和最低空轨道(LUMO)的能量差值, 以粗略估计各种铝酸离子的紫外吸收峰位置, 其结果如下:

Al(OH)_4^-	2 344 \AA
Al(OH)_6^{3-}	2 647 \AA
$[(\text{HO})_3\text{Al}-\text{O}-\text{Al}(\text{OH})_3]^{2-}$	2 666 \AA

这和我们对铝酸钠溶液所作的紫外光谱测量结果是一致或不矛盾的: Al(OH)_4^- 的紫外吸收峰被 NaOH 溶液在 2 300 \AA 附近的强吸收所掩盖, 含有 $[(\text{HO})_3\text{Al}-\text{O}-\text{Al}(\text{OH})_3]^{2-}$ 的铝酸

钠浓溶液吸收峰在 2 700 \AA 附近。我们以前的工作证明: 高苛性比的铝酸钠溶液含有 Al(OH)_6^{3-} , 其紫外光谱 2 300~2 900 \AA 波段有强吸收, 计算吸收峰位置恰在此波段的中央, 因此计算和实验也是符合的。

参考文献

- 陈念贻, 氧化铝生产的物理化学. 上海: 上海科技出版社, 1962.
- Moolenaar R J, Evans J C, Mac Keever L D. Journal of Physical Chemistry, 1970, 74: 3629.
- Игнатьев И С, идр. Материалы, Н76, (12): 1230.
- Harris R K, Mann B E. NMR and the Periodic table, London: Academic Press, 1979. 279.
- Carreira L A, Maroni V A, Swaine J W, Plumb R C. Journal of Chemical Physics, 1966, 45: 2216.
- 陈念贻, 柳妙修, 曹益林, 科学通报, 1991, 36: 1520.